

# Андрей Чумаков

## Работа 1.4.2 (1.1.8\*): Определение ускорения свободного падения при помощи оборотного маятника

### 1 Введение

**Цели работы:** определить величину ускорения свободного падения, пользуясь оборотным маятником.

**Оборудование:** оборотный маятник, счетчик числа колебаний, секундомер, штангенциркуль с пределом измерений 1 м.

### 2 Методология эксперимента

Для вычисления ускорения свободного падения  $g$  можно использовать много способов, двумя из них мы и воспользуемся: оборотным маятником и прямым измерением времени падения шарика. Для начала рассмотрим первый из них:

#### 2.1 Установка

Схема устройства оборотного маятника изображена на рис. 1. Расстояние  $L$  между опорными призмами  $\Pi_1$  и  $\Pi_2$  не меняется. Расстояния  $l_1$  и  $l_2$  можно менять, перемещая грузы  $\Gamma_1$ ,  $\Gamma_2$  и  $\Gamma_3$ .

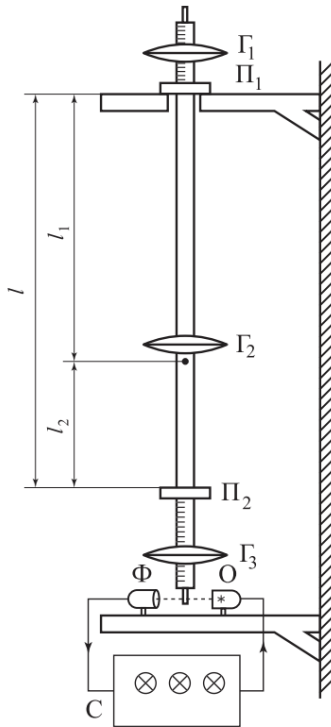


Рис. 1: Оборотный маятник

Для определения числа колебаний используется счетчик, состоящий из осветителя, фотоэлемента и пересчетного устройства. Легкий стержень, укрепленный на торце маятника, пересекает световой луч дважды за период. Возникающие в фотоэлементе импульсы поступают на пересчетный прибор. Если  $n_1$  и  $n_2$  - начальные и конечные значения показаний прибора за время наблюдения  $t$ , то измеренное число периодов, очевидно, равно  $N = (n_2 - n_1)/2$ , а период колебаний составляет  $T = t/N$ .

Время  $t$  измеряется секундомером, установленным на пересчетном приборе. Для определения расстояний  $l_1$  и  $l_2$  маятник снимают с консоли и располагают горизонтально на специальной подставке, имеющей острую грань. Перемещая маятник, нетрудно найти положение центра масс. Расстояния от него до опорных призм и есть искомые  $l_1$  и  $l_2$ . Если они достаточно сильно отличаются друг от друга, а периоды  $T_1$  и  $T_2$  близки, нет необходимости определять  $l_1$  и  $l_2$  с высокой точностью.

Мы будем использовать его для точного вычисления ускорения свободного падения, используя его свойство, что период колебаний физического маятника не изменяется при перемещении оси качаний в центр качаний, то есть в точку, отстоящую от оси качаний на расстояние, равное приведенной длине маятника, и лежащую на одной прямой с точкой подвеса и центром масс маятника.

#### 2.2 Теоритические сведения

Выведем необходимую нам формулу исходя из физических соображений и того, что сказано выше.

Период колебаний физического маятника определяется формулой:

$$T = 2\pi\sqrt{\frac{I}{mga}}$$

Здесь  $I$  – момент инерции маятника относительно оси качания,  $m$  – масса маятника,  $a$  – расстояние от центра масс до оси качания

Массу маятника и период его колебаний можно измерить с очень высокой точностью, но точно измерить момент инерции не удастся. Указанного недостатка лишен метод оборотного маятника, который позволяет исключить момент инерции из расчетной формулы для  $g$ .

Допустим, что нам удалось найти такое положение грузов, при котором периоды колебаний маятника  $T_1$  и  $T_2$  на призмах П1 и П2 совпадают, т. е.

$$T_1 = T_2 = T = 2\pi\sqrt{\frac{I_1}{mgl_1}} = 2\pi\sqrt{\frac{I_2}{mgl_2}}$$

Где  $l_1$  и  $l_2$  – расстояния от центра массы маятника до призм П1 и П2.

По теореме Гюгенса-Штейнера

$$I_1 = I_0 + ml_1^2 \text{ and } I_2 = I_0 + ml_2^2$$

Итого проведя необходимые математические операции с данными формулами получим, что:

$$g = \frac{4\pi^2}{T^2}(l_1 + l_2)$$

При выводе формулы выше, мы полагали, что  $T_1 = T_2$ . На самом деле точного равенства периодов добиться, конечно, невозможно. Тогда

$$T_1 = 2\pi\sqrt{\frac{I_0 + ml_1^2}{mgl_1}} \text{ and } 2\pi\sqrt{\frac{I_0 + ml_2^2}{mgl_2}}$$

Из этих равенств имеем

$$T_1^2 gl_1 - T_2^2 gl_2 = 4\pi^2(l_1^2 - l_2^2)$$

откуда

$$g = 4\pi^2 \frac{l_1^2 - l_2^2}{l_1 T_1^2 - l_2 T_2^2} = 4\pi^2 \frac{L}{T_0^2}$$

где

$$T_0^2 = \frac{l_1 T_1^2 - l_2 T_2^2}{l_1^2 - l_2^2}$$

Погрешность определения  $g$  может быть найдена по формуле:

$$\frac{\sigma}{g} = \sqrt{\left(\frac{\sigma_L}{L}\right)^2 + 4\left(\frac{\sigma_{T_0}}{T_0}\right)^2}$$

Учитывая формулу для  $T_0$

$$\sigma_{T_0} \approx \frac{\sqrt{l_1^2 + l_2^2}}{l_1 - l_2}$$

### 3 Проведение эксперимента

Перед тем, как начать какие-либо измерения, определим рабочий диапазон амплитуд маятника, в котором период колебаний  $T$  можно считать не зависящим от амплитуды, то есть колебания гармонические. Сравним периоды с  $A$  и  $A/2$ . Выбрав амплитуду 5 градусов и померев время 100 периодов поймем, что  $T_A = T_{A/2}$ . Будем проводить измерения используя амплитуду  $\approx 5$  градусов.

Далее разберем установку и взвесив все элементы оборотного маятника проведем предварительный расчет положения грузов и призмы для выполнения необходимого соотношения. Установив соответствующие элементы оборотного маятника нам их места будем двигать их для более точного совпадения периодов переворачивая маятник и измеряя  $T_1$  и  $T_2$  по 30 периодам. У нас получилось совпадение периодов  $T_1$  и  $T_2$  при переворачивании с точностью до 0,02%

Перед тем как проводить точные измерения мы проверим, что трение не оказывает существенного влияния на колебания. Получим, что добротность системы более 2000 (амплитуда уменьшается в 2 раза за 1100 периодов), поэтому в разрезе 200-300 колебаний мы можем считать колебания не затухающими.

Теперь проведем по 5 измерений на каждый поворот по 50 периодов, записав полученные значения в таблицу. А так же измерим расстояния от точек качания до центра масс и занесем полученные данные в таблицу

№	$50T_1, \pm 0,005c$	$50T_2, \pm 0,005c$	$T_1, c$	$T_2, c$
1	72,875	1,4575	72,865	1,4573
2	72,865	1,4573	72,865	1,4573
3	72,875	1,4575	72,865	1,4573
4	72,865	1,4573	72,865	1,4573
5	72,875	1,4575	72,865	1,4573
6	72,875	1,4575	72,865	1,4573

Таблица 1: Данные измерения периодов оборотного маятника

$$l_1 = 369.2 \pm 0.1mm \text{ and } l_2 = 158.7 \pm 0.1mm$$

## 4 Обработка экспериментальных данных

Обработав данные выше, получим, что

$$\overline{T_1} = 1.4574 \pm 0.00015mm$$

$$\overline{T_2} = 1.4573 \pm 0.0001mm$$

Зная периоды и расстояния до центра масс и их погрешности, можем найти итоговое  $g$  и его погрешность по формулам:

$$g = 4\pi^2 \frac{l_1^2 - l_2^2}{l_1 T_1^2 - l_2 T_2^2} = 9.811m/c^2$$

$$\sigma_{T_0} \approx \frac{\sqrt{l_1^2 + l_2^2}}{l_1 - l_2} \sigma_T = 1.9\sigma_T = 0.00024$$

Учитывая, что  $T_0 = 1.4575$  исходя из формулы выше

$$\frac{\sigma}{g} = \sqrt{\left(\frac{\sigma_L}{L}\right)^2 + 4\left(\frac{\sigma_{T_0}}{T_0}\right)^2} = 0.00025$$

**Итого получаем:**

$$g_1 = 9.811 \pm 0.0025m/c^2$$

Мы получили отличную относительную погрешность вплоть до  $10^{-4}$ . Используя интернет сравним полученные данные с эталонным значением ускорения свободного падения для Москвы  $g_{ekv} = 9.8155m/c^2$ . Это выходит за рамки погрешности, но при такой точности на результат уже влияет потеря энергии в колебательном контуре, разница высот г. Долгопрудного и Москвы, разность пород и другие посторонние факторы.

## 5 Лабораторная работа 1.1.8\*

Получив очень точное значение ускорения свободного падения, используя оборотный маятник, теперь попытаемся измерить его напрямую

**Цель работы:** определить ускорение свободного падения посредством прямых измерений ускорения падающего тела и оценить сопротивление воздуха.

**В работе используются:** вертикальная труба с намотанными катушками; шарообразные неодимовые магниты; линейка; блок регистрации сигнала (микроконтроллер с АЦП), соединённый с цифровым осциллографом.

### 5.1 Методология эксперимента

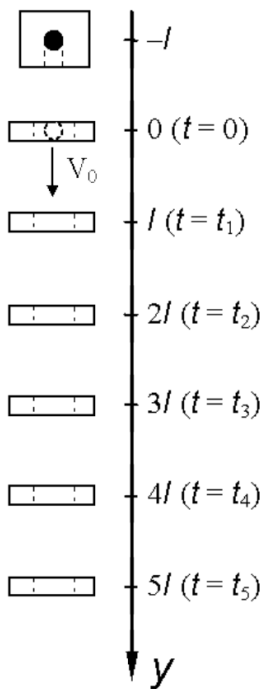


Рис. 2: Схема установки

В данной лабораторной работе проводится измерение ускорения свободного падения  $g$  при помощи специальной экспериментальной установки. Для этого используется металлический магнитный шарик, который начинает падать после выключения тока через электромагнит, его удерживающий. Шарик проходит через шесть тонких проволочных катушек, с которыми связаны датчики электрического напряжения и регистраторы времени (таймеры).

При прохождении шарика через катушки, его магнитное поле индуцирует в них индукционные токи, которые регистрируются датчиками и срабатывают таймеры. Каждый таймер фиксирует время пролета шарика соответствующей катушки. Расстояние между катушками известно и составляет около 40 см.

По полученным данным можно определить скорость и ускорение шарика во время падения. После прохождения всех катушек, шарик попадает в металлическую трубку, где его движение замедляется благодаря эффекту электромагнитного торможения. В трубке также создаются индукционные токи, которые противодействуют движению шарика в соответствии с правилом Ленца.

Осциллограммы импульсов тока от катушек и картину на экране запоминающего осциллографа используют для примерного определения времени пролета шарика каждой катушки. С помощью закона электромагнитной индукции связывают напряжение в цепи регистрации с производной магнитного потока от шарика. Поэтому, когда шарик находится в центре регистрирующей катушки, индукционное ЭДС резко меняет свое направление. Осциллограммы имеют различные амплитуды и формы в зависимости от ориентации намагниченности шарика относительно катушки, что нас не сильно интересует

Запишем уравнение движения шарика:

$$y = v_0 t + \frac{gt^2}{2}$$

И для 5 измеренных моментов времени:

$$nl = v_0 t_n + \frac{gt_n^2}{2}$$

Перепишем выражение в виде:

$$\frac{nl}{t_n} = v_0 + \frac{gt_n}{2}$$

Измерив  $t_n$  при свободном падении шарика можем построить график данного выражения и найти ускорение свободного падения из углового коэффициента данной зависимости

### 5.1.1 Влияние сопротивления воздуха

Падение шарика в атмосфере не является полностью свободным: он, конечно, испытывает влияние сопротивления воздуха. Из-за этого измеряемое на опыте ускорение  $g$  окажется несколько меньше.

Мы имея точный независимый опыт, мы можем понять, какой вклад вносит сопротивление воздуха, просто из разности точного значения  $g$ .

Другой способ оценить вклад сопротивления воздуха, это использовать формулу ниже

$$F_{\text{сопр}} = C\pi r^2 \rho v^2$$

где  $\rho$  — плотность воздуха ( $\rho \approx 1,2 \text{ кг/м}^3$ ),  $C$  — константа, зависящая от формы тела, которая может быть установлена только экспериментально.

$$Re = \frac{\rho v r}{\eta}$$

Эта формула применима, так как число Рейнольдса ( $Re$ )  $\gg 1$ . Взяв среднюю величину данной силы  $F_{\text{сопр}}$  проинтегрировав работу данной силы и разделив на расстояние, которое пролетел шарик. И найдем соответствующее ей  $\approx \overline{F_{\text{сопр}}}/m$ , где  $m$  — масса шарика

## 5.2 Проведение эксперимента

Измерим времена пролета шариком 2, 3, 4, 5, 6 катушек, после момента пролета первой из них, и занесем данные в таблицу, так же посчитав значение  $nl/t_n$

№	$t_1, c$	$t_2, c$	$t_3, c$	$t_4, c$	$t_5, c$
1	0,118	0,207	0,286	0,351	0,411
2	0,118	0,207	0,283	0,351	0,411
3	0,119	0,208	0,282	0,350	0,411
4	0,118	0,207	0,283	0,350	0,411
5	0,116	0,205	0,281	0,348	0,409
6	0,118	0,208	0,284	0,350	0,410
7	0,118	0,207	0,284	0,350	0,411
8	0,117	0,206	0,282	0,349	0,410

Таблица 2: Собранные экспериментальные данные

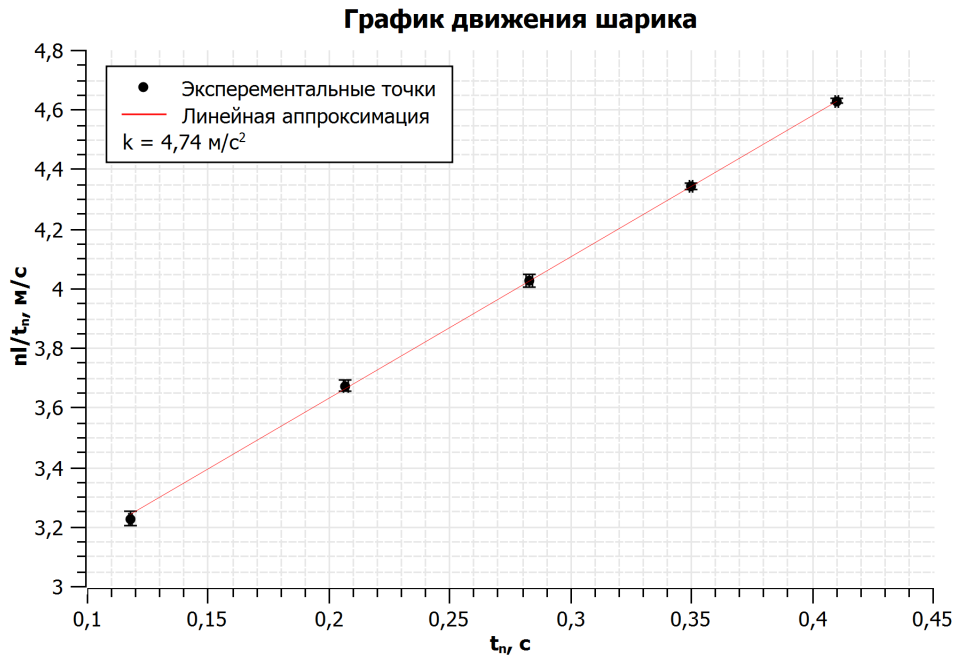
## 5.3 Обработка полученных данных

Из измеренных данных посчитаем необходимые для построения графика значения и также занедем их в таблицу

$\overline{t_n}$	0,118	0,207	0,283	0,350	0,411
$nl/t_n$	3,227	3,674	4,026	4,344	4,629
$\sigma_{nl/t_n}$	0,023	0,016	0,021	0,012	0,008

Таблица 3: Обработанные данные

Используя написанные выше значения построим график и найдем по нему коэффициент  $k = g/2$



**Итого получаем:**  $g_2 = 9,48 \pm 0,13 \text{ м/с}^2$  Значение получилось меньше настоящего, что связано с трением воздуха, действием электромагнитных сил и других погрешностей, но все же, как мы убедимся дальше, такая огромная погрешность получается из-за неправильных данных об установке.

### 5.3.1 Вычисление силы сопротивления воздуха и ее вклада

Имея независимый эксперимент посмотрим, какая у нас разница между  $g_1$ , измеренной точным экспериментом и  $g_2$ , измеренной напрямую, по времени пролета магнитного шарика через катушки:

$$\varepsilon_{g1} \approx \frac{g_1 - g_2}{g_2} = 0,035$$

Теперь проведем теоретические вычисления вклада трения воздуха. Учитывая, что на данных масштабах трение воздуха вносит не существенный вклад, а мы производим оценку, будем считать, что шарик движется с ускорением свободного падения, тогда  $v = gt$ , а из формул выше:

$$A_{\text{сопр}} = \int_0^s C\pi r^2 \rho v^2 ds = \int_0^{t_5} C\pi r^2 \rho g^3 t^3 dt = C\pi r^2 \rho g^3 \int_0^{t_5} t^3 dt = \frac{1}{4} C\pi r^2 \rho g^3 t^4 = 0,01 \text{ Дж}$$

Тогда получаем, что

$$\varepsilon_{g2} \approx \frac{A_{\text{сопр}}}{5lm_{\text{ш}}g_2} = 0,003$$

Мы видим, что сопротивление воздуха вносит малую погрешность в сравнении с той, которая у нас есть относительно точного значения. Возможно основной вклад в это различие вносят электромагнитные силы, возникающие в катушках при пролете шарика. Но все же скорее-всего такая огромная погрешность возникает из-за недостоверных данных об установке.

## 6 Выводы

Мы провели измерения  $g$  двумя способами, с помощью трифелярного подвеса и прямого измерения падения шарика, а также рассчитали вклад сопротивления воздуха в погрешность измерения ускорения свободного падения, посчитав теоретически.

Первый эксперимент дал нам очень маленькую погрешность в отличие от второго, где влияние на результат оказали электромагнитные силы и сопротивление воздуха, а так же недостоверные данные об установке